

# ホール素子を用いた GGG, CPA の断熱消磁中の磁場測定

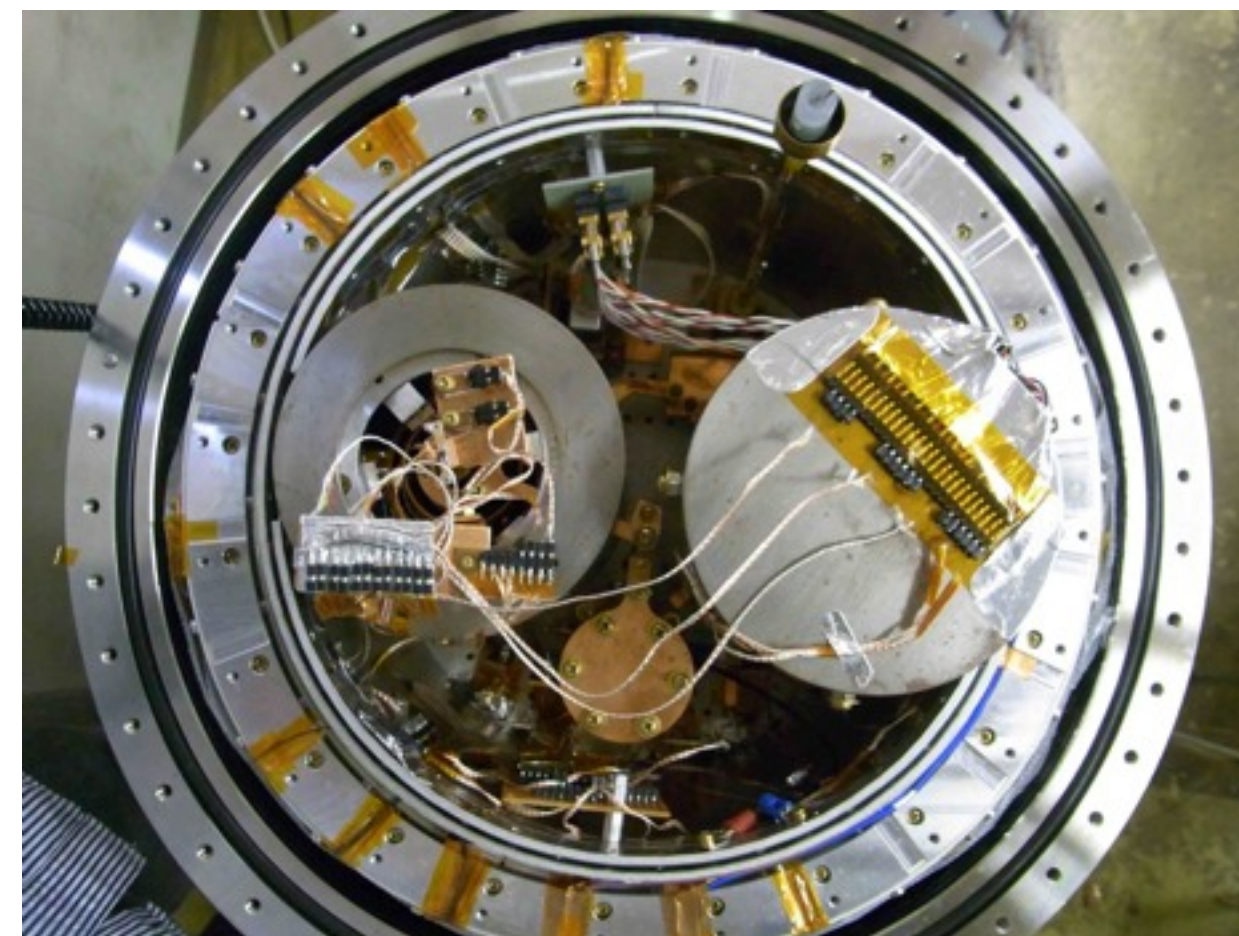
## \*目的

磁場解析ソフトFEMMの結果と実測値の比較

SiFe shield の磁気遮蔽能力の評価

## \*方法

GGG、CPAそれぞれの励磁中、消磁中にホール素子を用いて磁場測定を行った。



# \*測定素子: 素子J ( CPA magnet coil の磁束方向 )

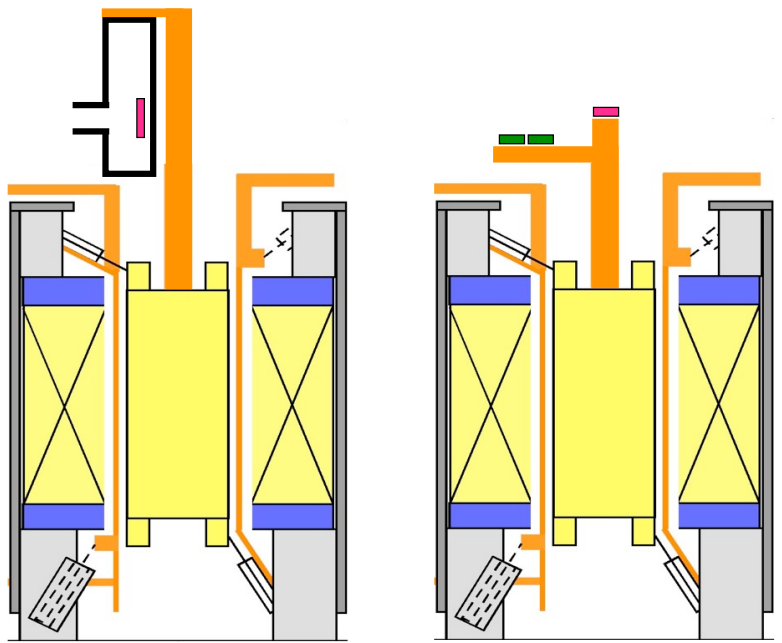


図1. 左の赤がTESの位置, 右の赤がホール素子Jの位置.  
緑は温度計

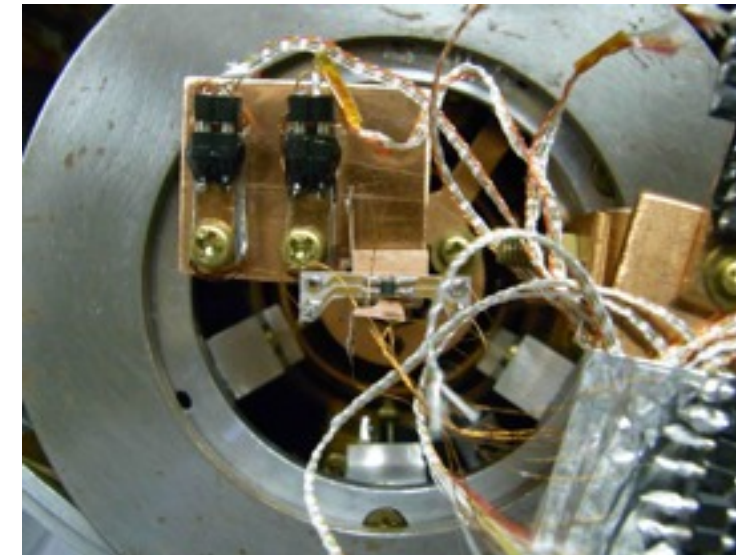


図2. 図1左を上から見た時の写真

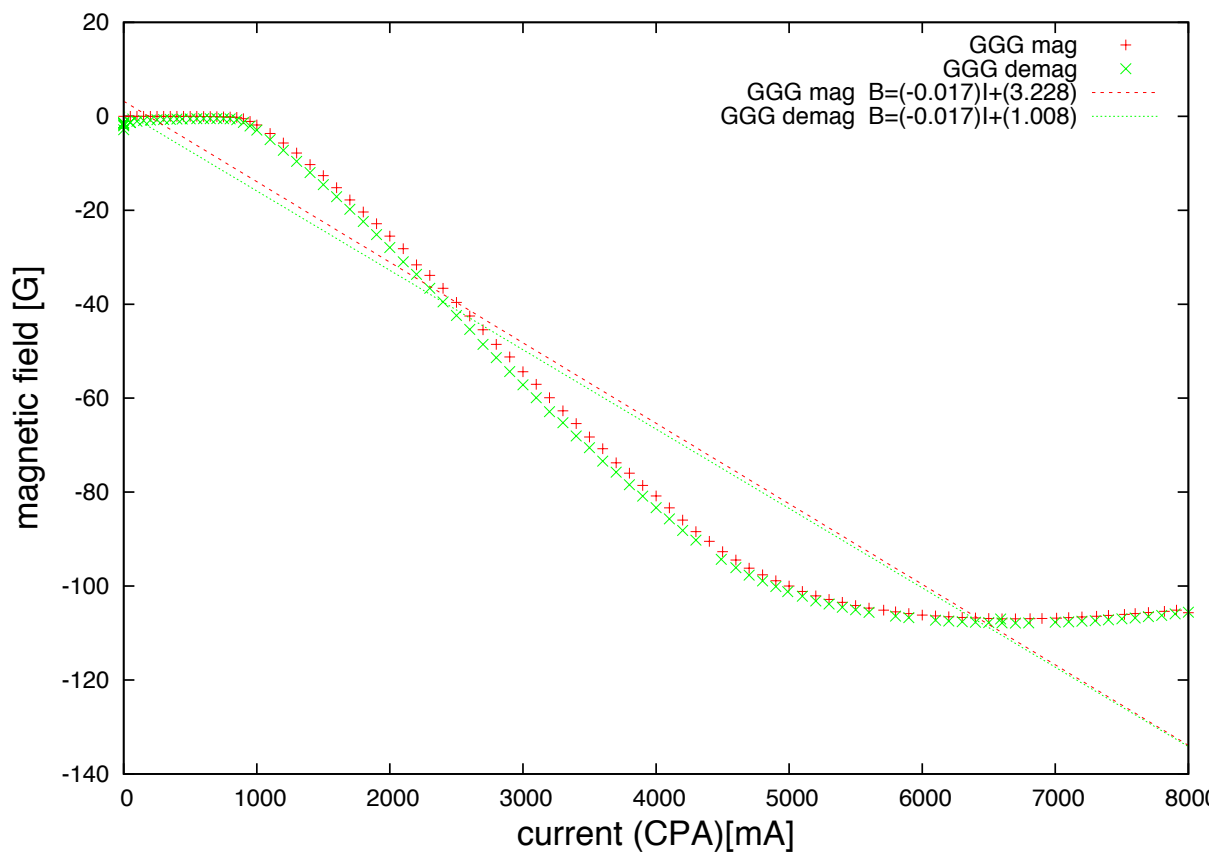


図3. GGG断熱消磁時の磁場測定結果. 赤: 励磁中, 緑: 消磁中.

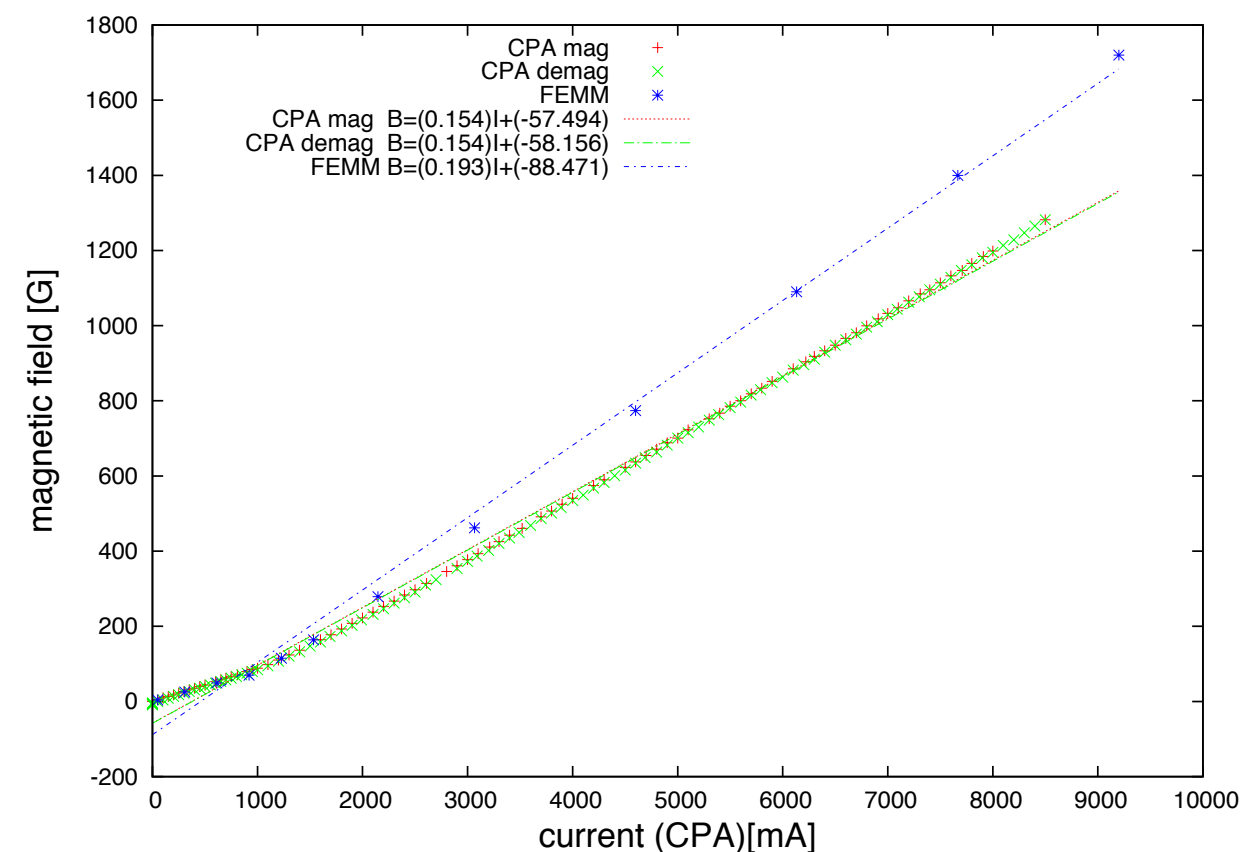


図4. CPA断熱消磁時の磁場測定結果と篠崎さんのFEMMの解析結果. 赤: 励磁中, 緑: 消磁中, 青: FEMMの解析結果.

# \*測定素子: 素子K ( CPA magnet coil の磁束と垂直な方向 )

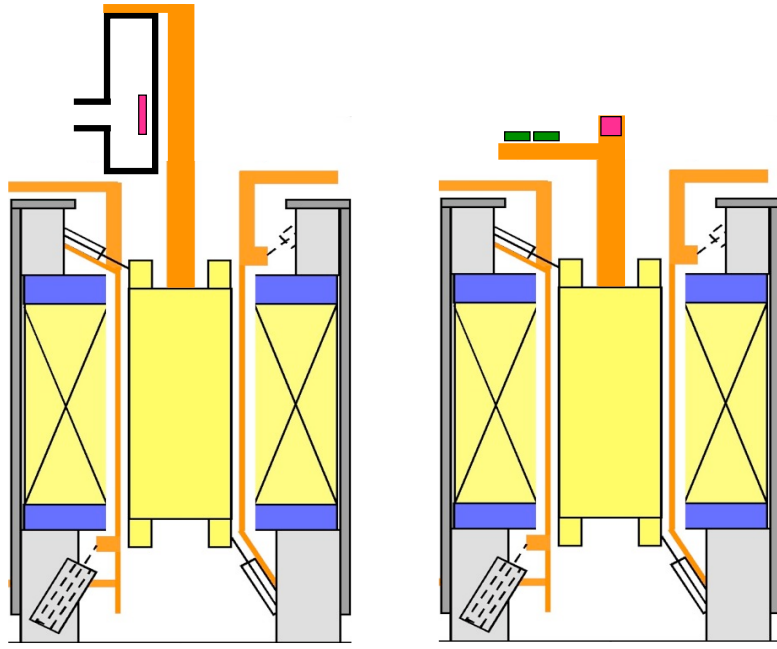


図5.左の赤がTESの位置, 右の赤がホール素子Jの位置.  
緑は温度計.

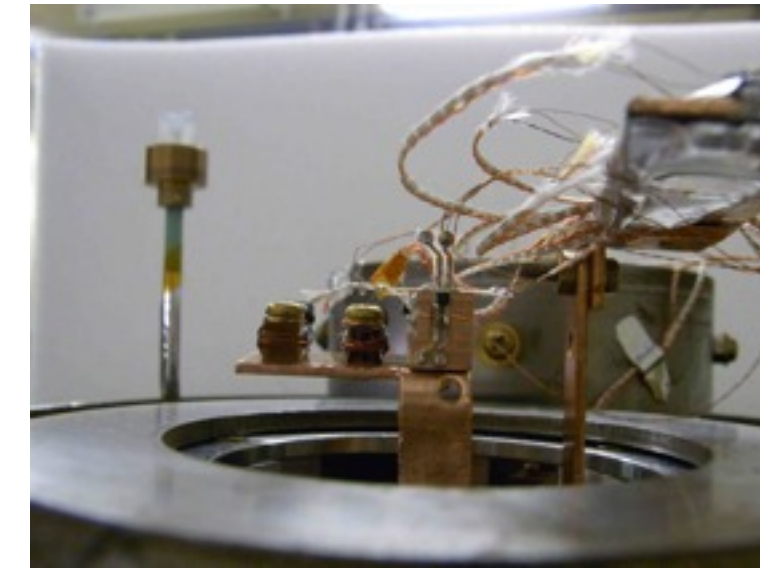


図6. 図1左を上から見た時の写真

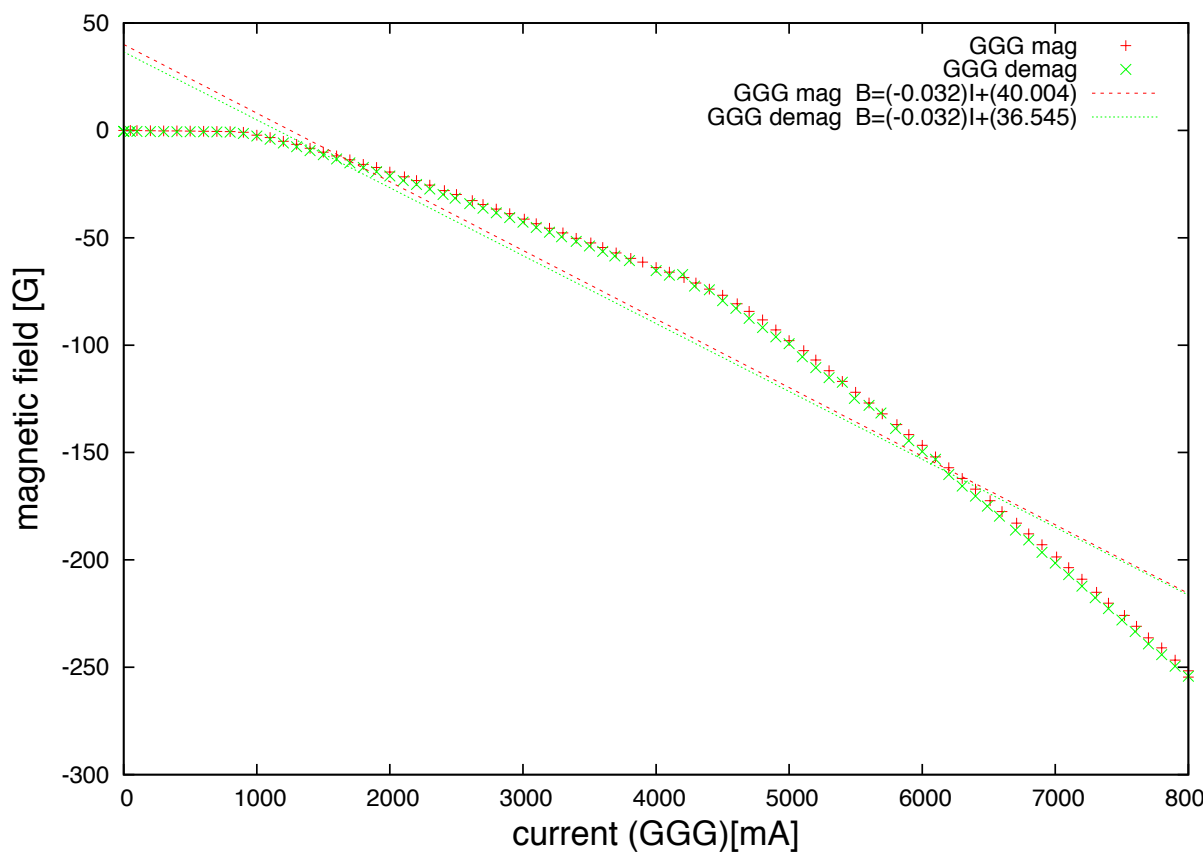


図7. GGG断熱消磁時の磁場測定結果. 赤: 励磁中, 緑: 消磁中.

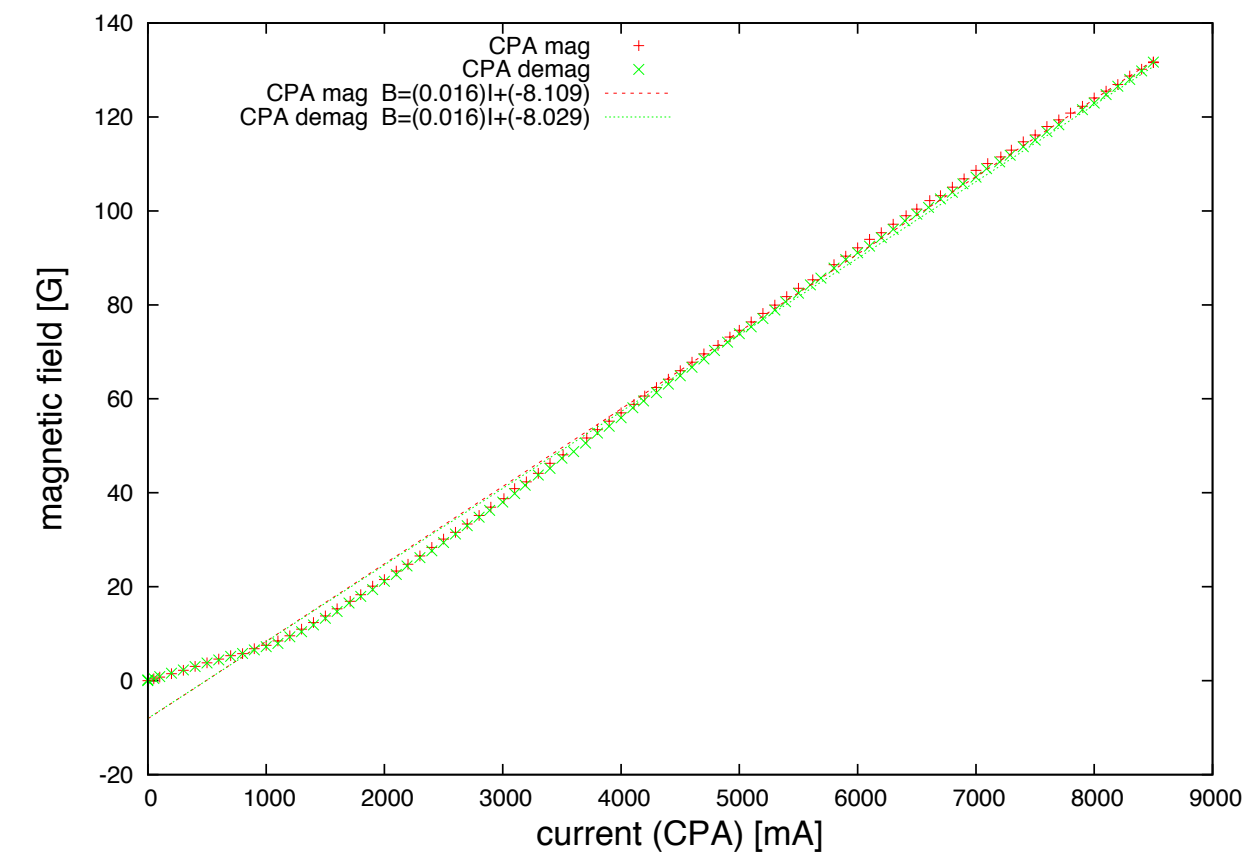


図8. CPA断熱消磁時の磁場測定結果. 赤: 励磁中, 緑: 消磁中.

\*測定素子: 素子M ( CPA magnet coil の磁束と垂直な方向, TESに垂直な方向)

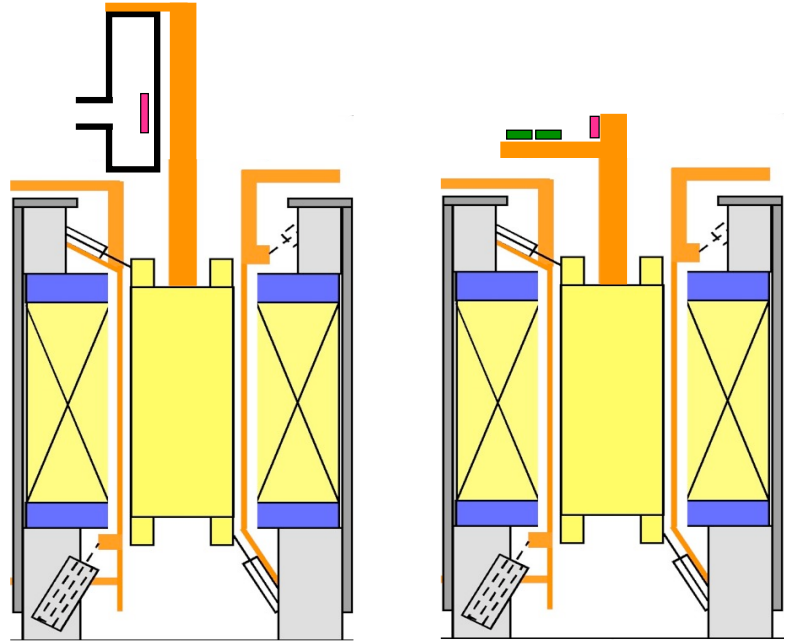


図9.左の赤がTESの位置, 右の赤がホール素子Jの位置.  
緑は温度計.

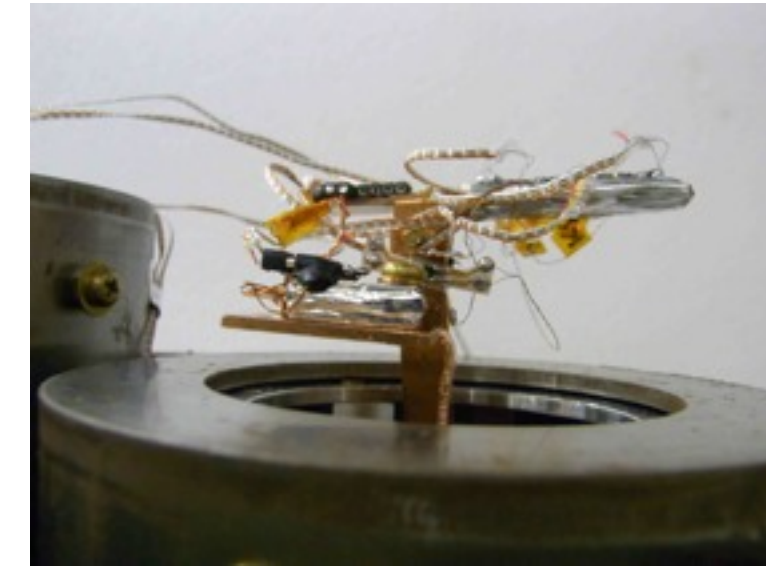


図10. 図1左を上から見た時の写真

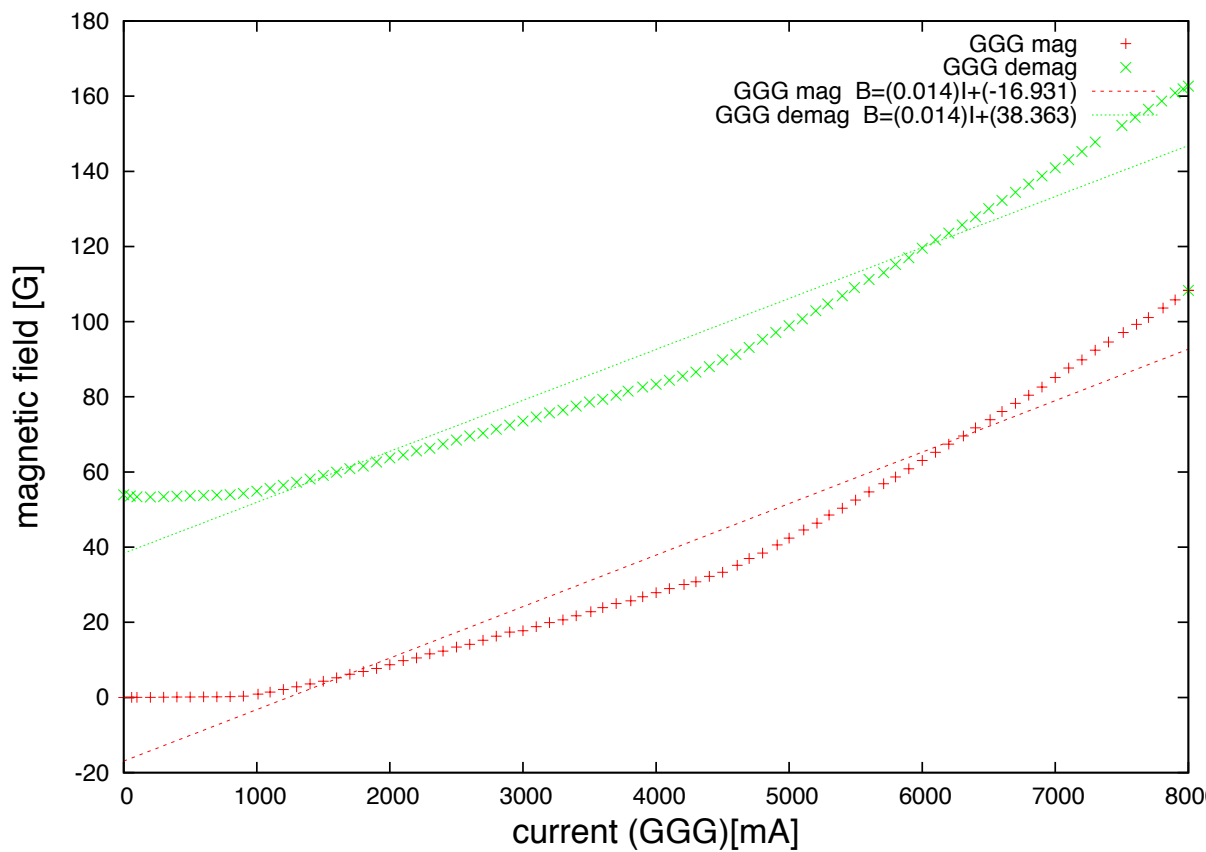


図11. GGG断熱消磁時の磁場測定結果. 赤: 励磁中, 緑: 消磁中.

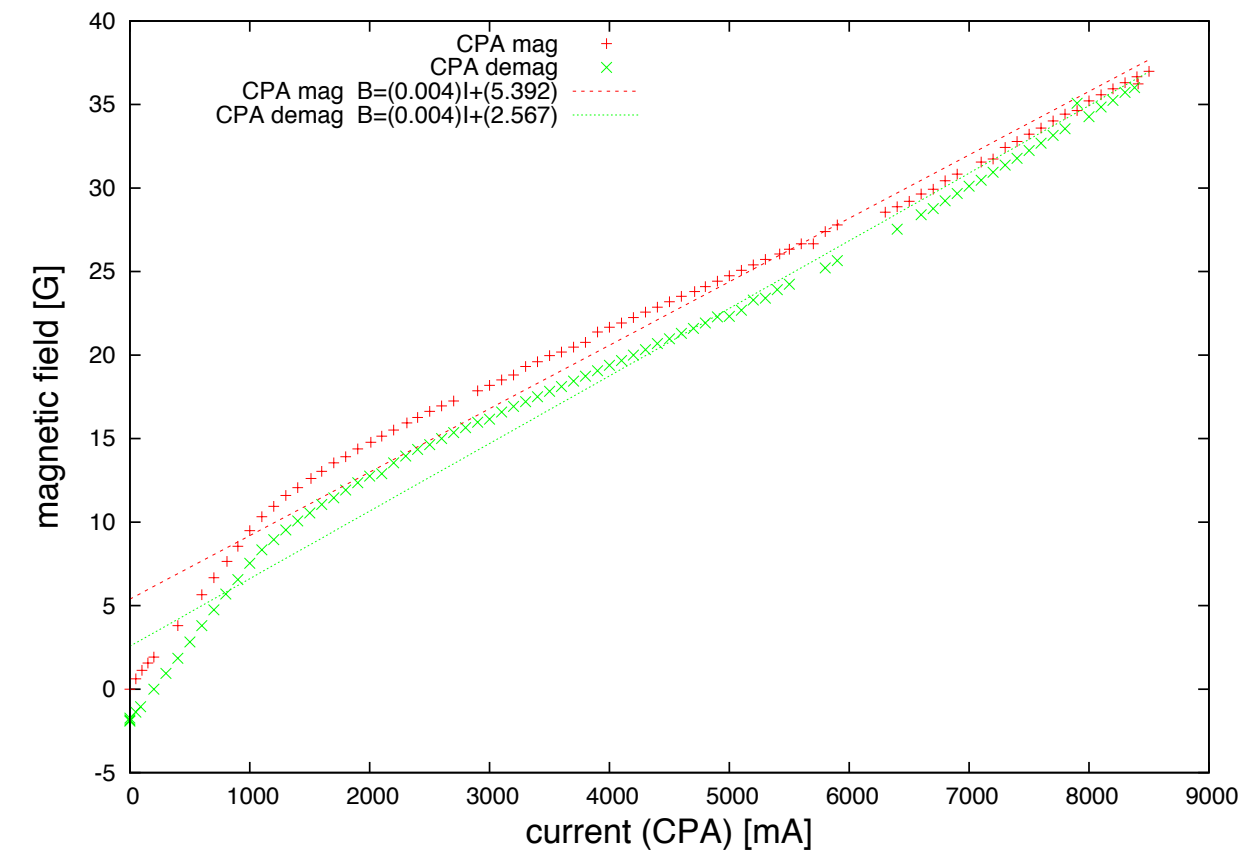


図12. CPA断熱消磁時の磁場測定結果. 赤: 励磁中, 緑: 消磁中.